2025年度 せいめいユーザーズミーティング (2025/9/3)

# 精密分光観測で拓かれるサイエンス ~ クェーサー吸収線研究における新展開~

三澤透(信州大学)



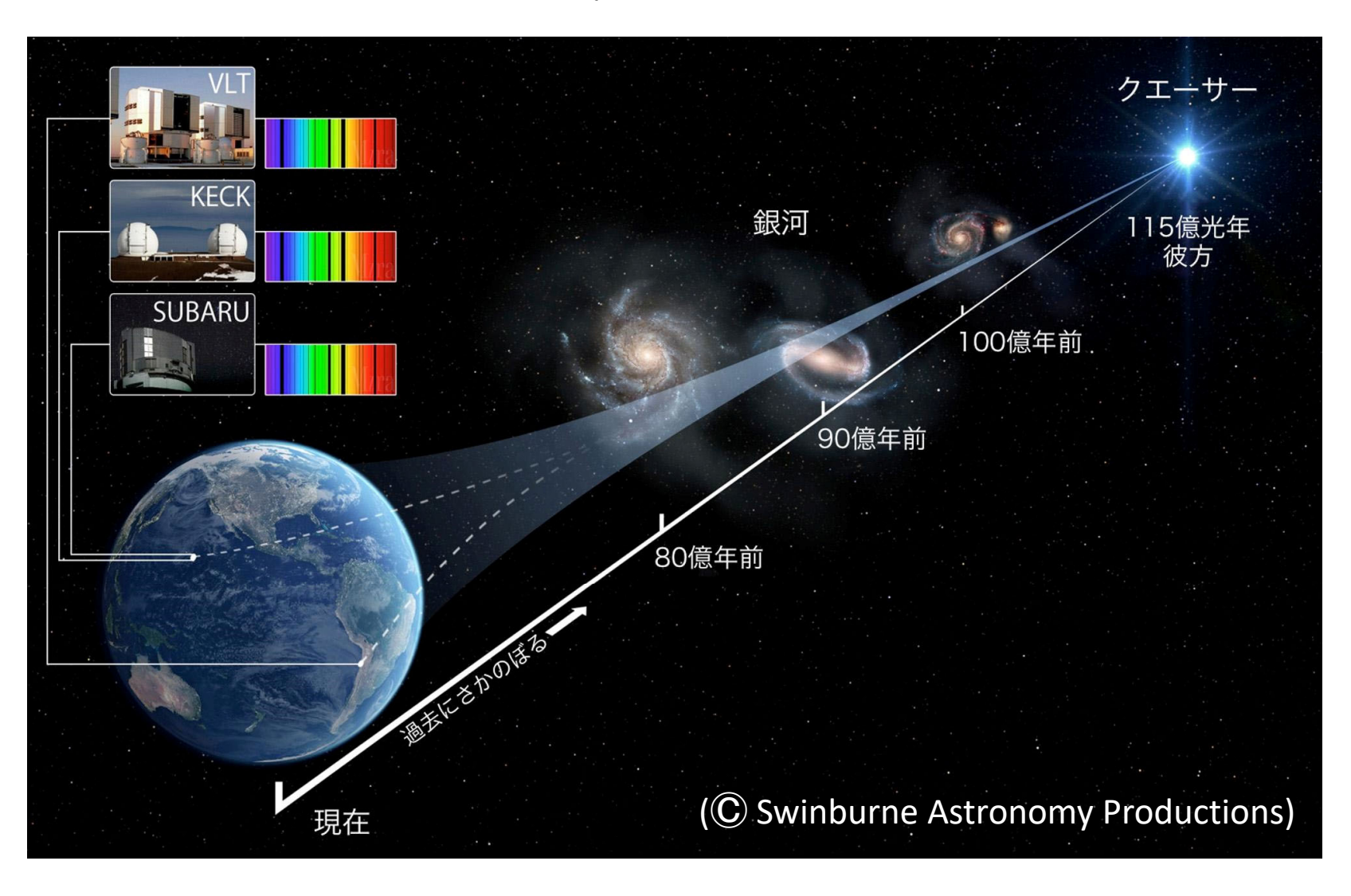
# 目次

- クェーサー吸収線研究の歴史と課題
- 高分散分光観測装置の将来計画
- 2030年代のサイエンス(QAL関連)
- ・まとめ

# クェーサー吸収線研究の歴史と課題

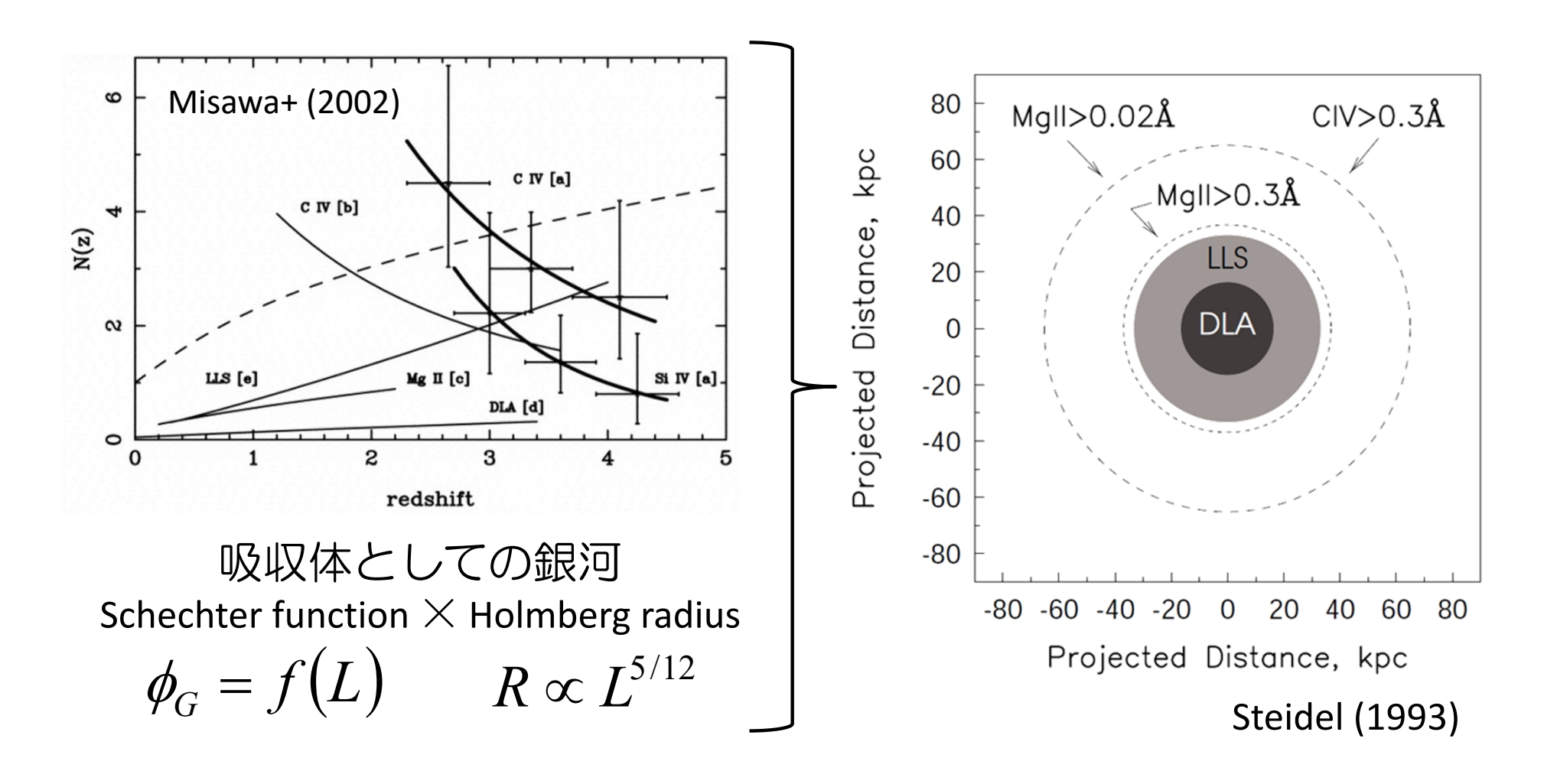
# クェーサー吸収線 (QALs)

遠方クェーサーのスペクトルに見られる一連の吸収線。銀河、銀河間ガス、 クェーサーアウトフローなど、視線上のあらゆる天体が吸収体となりうる



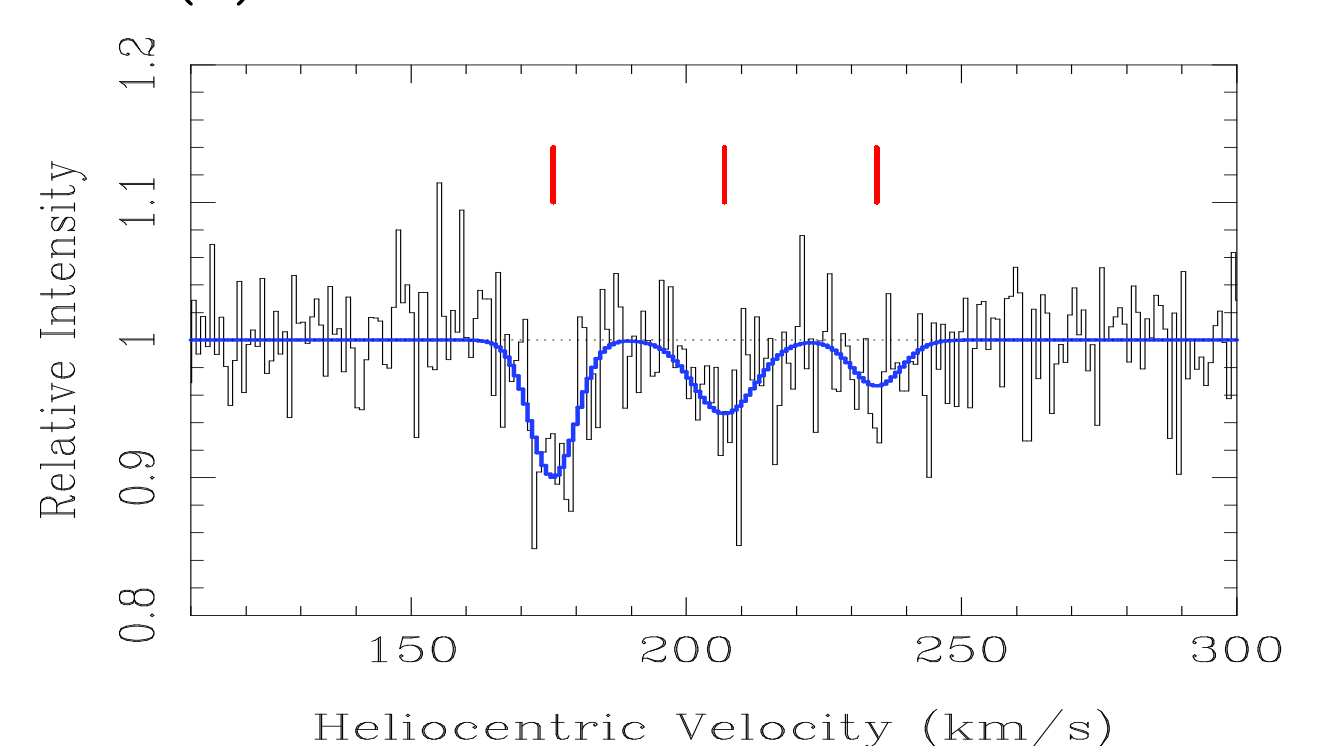
## 低分散分光観測(R~数千)

単位赤方偏移あたりの吸収線検出率(dN/dz)と銀河の光度関数を比較することで、一様内部分布を仮定したCGMサイズを推定することが可能(e.g., Steidel 1990, Lanzetta+1995).



## 高分散分光観測(R~数万)

吸収線フィットにより、吸収体の赤方偏移(z<sub>abs</sub>),柱密度(logN),ドップラーパラメーター(b)などの吸収線パラメーターの定量評価が可能.



Voigt Profile (natural + Doppler broadening)

$$\tau(\lambda) = N \frac{\pi e^{2}}{m_{e}c} \frac{f\lambda_{0}^{2}}{c} \frac{1}{\sqrt{\pi b^{2}}} \frac{\gamma_{i}}{\pi} \int_{-\infty}^{+\infty} \frac{e^{-v^{2} b^{2}} dv}{(\lambda - \lambda_{0} - \lambda_{0} v/c)^{2} + \gamma_{i}^{2}}$$

## クェーサー吸収線研究の課題

- 分光器の LSF と同程度の線幅を持つ吸収線がある
- 一部の吸収線が非対称的なプロファイルを持つ
  - → 吸収線が完全に分離・分解されていない
- AGNアウトフロー起源の吸収線の視線速度が変化しない
  - → 波長校正の精度が足りていない
  - → 長期的に安定した波長較正精度が維持されていない

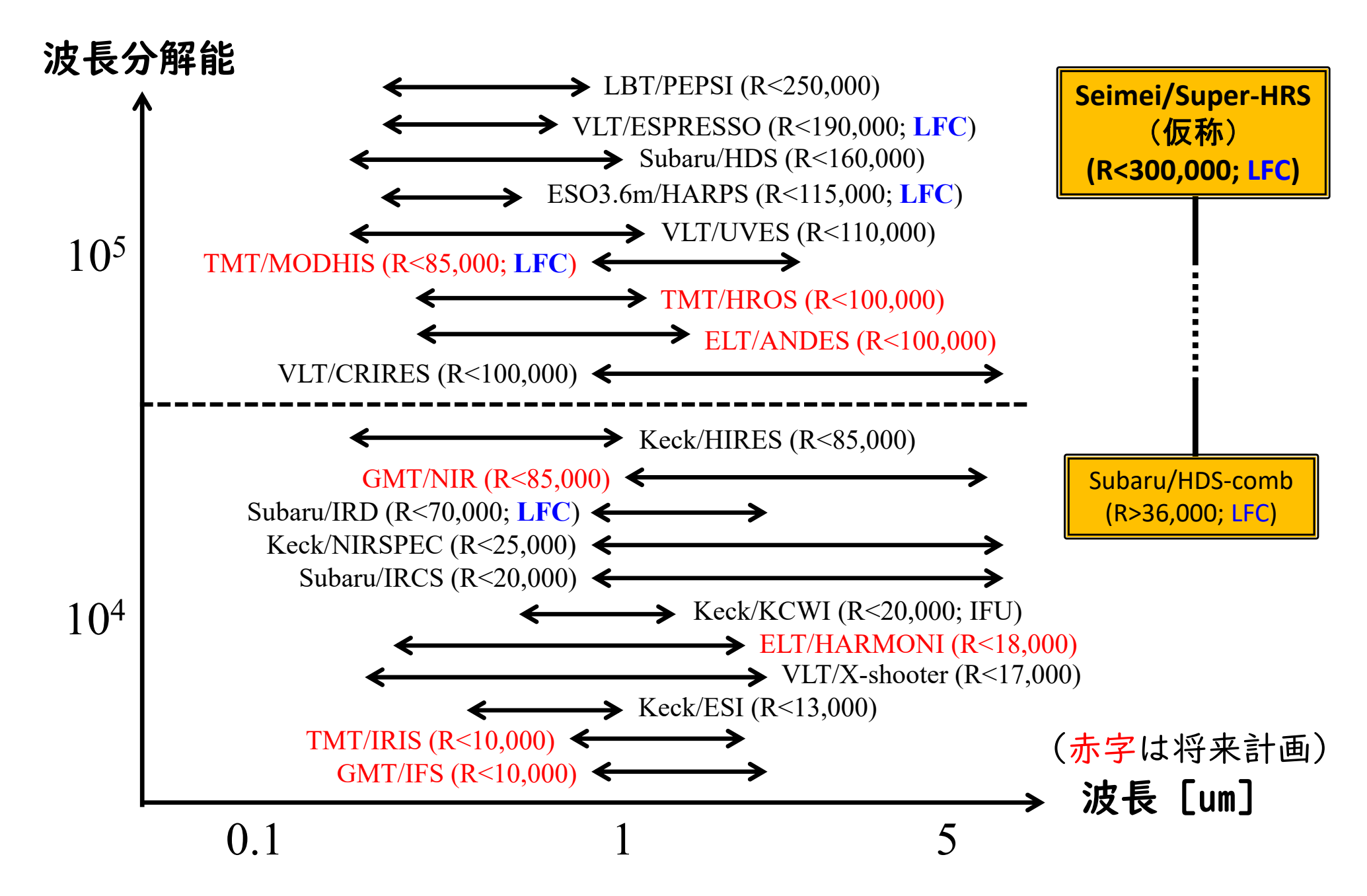
次世代クェーサー吸収線研究において、

- 1. 超高波長分解能 (≥10万)
- 2. 超精密波長測定精度(≲Ikm/s)
- 3. 超長期安定性 (≥数年間)

を兼ね備えた高分散分光器が望まれる

# 高分散分光観測の現状と将来計画

## 高分散分光器の現状と将来計画



# 2030年代のQAL関係サイエンスの例

	IGM/CGM	AGN	galaxy	cosmology	others
超高分散	・ 極低温ガス の検出		<ul><li>同位体による吸収線の分離</li></ul>		
精密波長測定 長期安定性		<ul><li>AGNアウト フローの加 減速の追跡</li></ul>		<ul><li>宇宙加速膨張の直接的検証</li><li>機証</li></ul>	
				数の変動	
超高S/N	• 原始ガスの 検出		<ul><li>・ ホスト銀河 探査(撮像)</li></ul>		<ul><li>・遠方宇宙に おける有機 物探査</li></ul>
大規模 サーベイ	・ IGMトモグ ラフィー		<ul><li>ホスト銀河 探査(撮像)</li></ul>		
他波長	<ul> <li>宇宙再電離</li> <li>AGNアウトフローの多波長観測(X線~MIR)</li> </ul>		・遠方宇宙に		
		フローの 多波長観測		おけるCMB 温度測定 (MIR)	

# クェーサー吸収線を用いた 2030年代のサイエンス

# テーマ ① 極低温ガスの検出

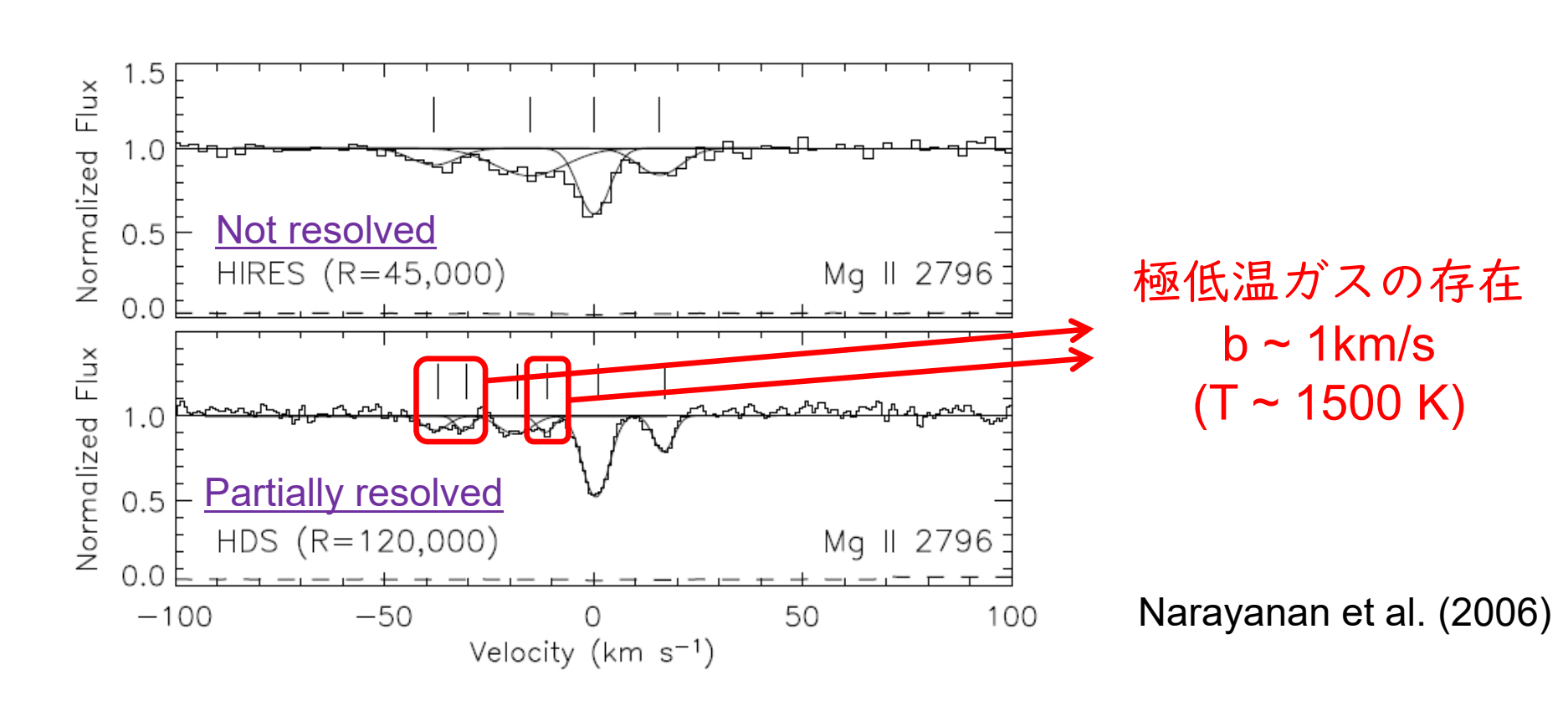
# テーマ① 極低温ガスの検出

クェーサー吸収線で線幅 < Ikm/s の極低温ガスを捉える

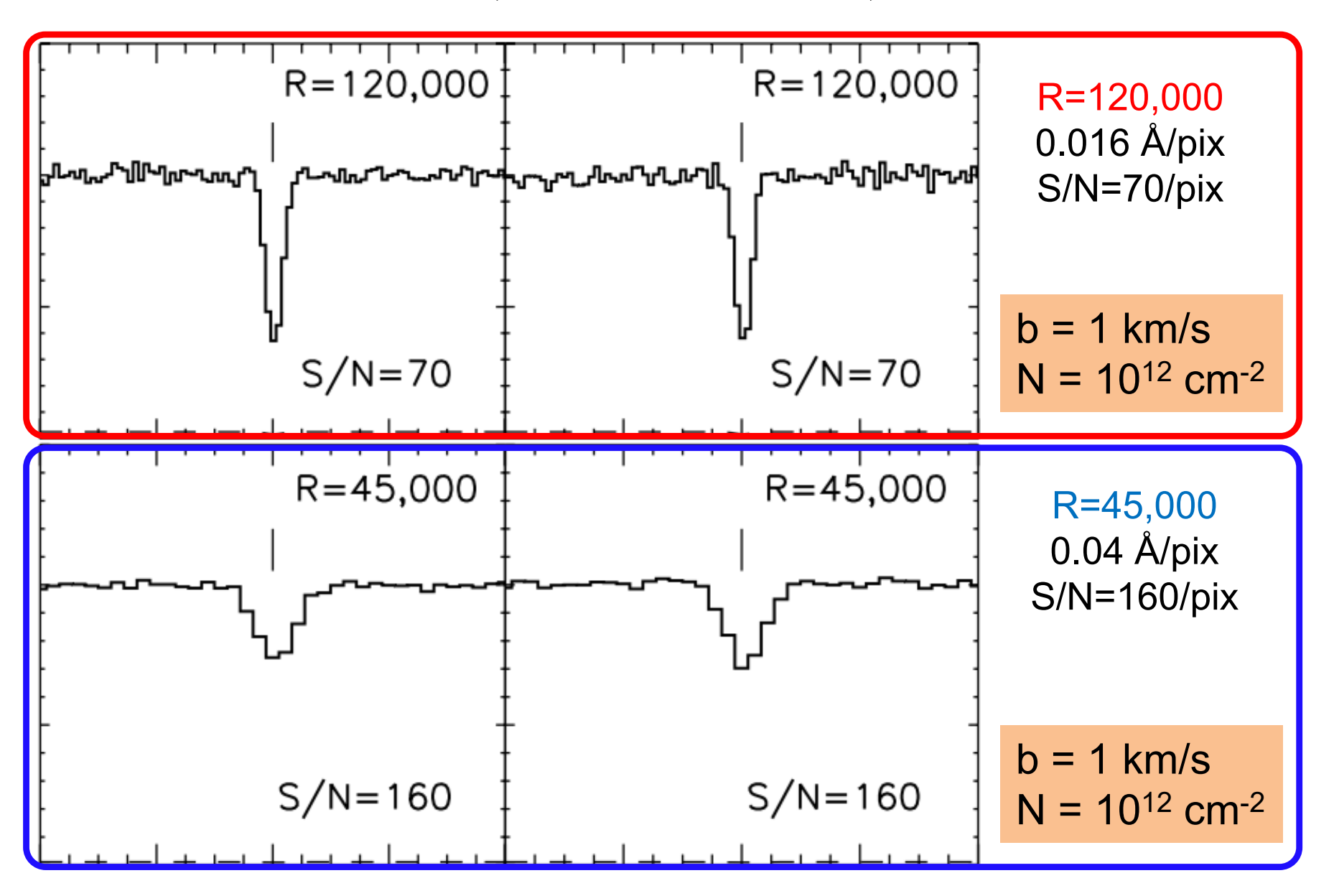
R~1-3,000 (~1990s) :吸収線の number count (dN/dz)

R~40-50,000 (1990s~):吸収線の line parameters (z, N, b)

R>100,000 (2000s~) : cold gas (T<1000 K)



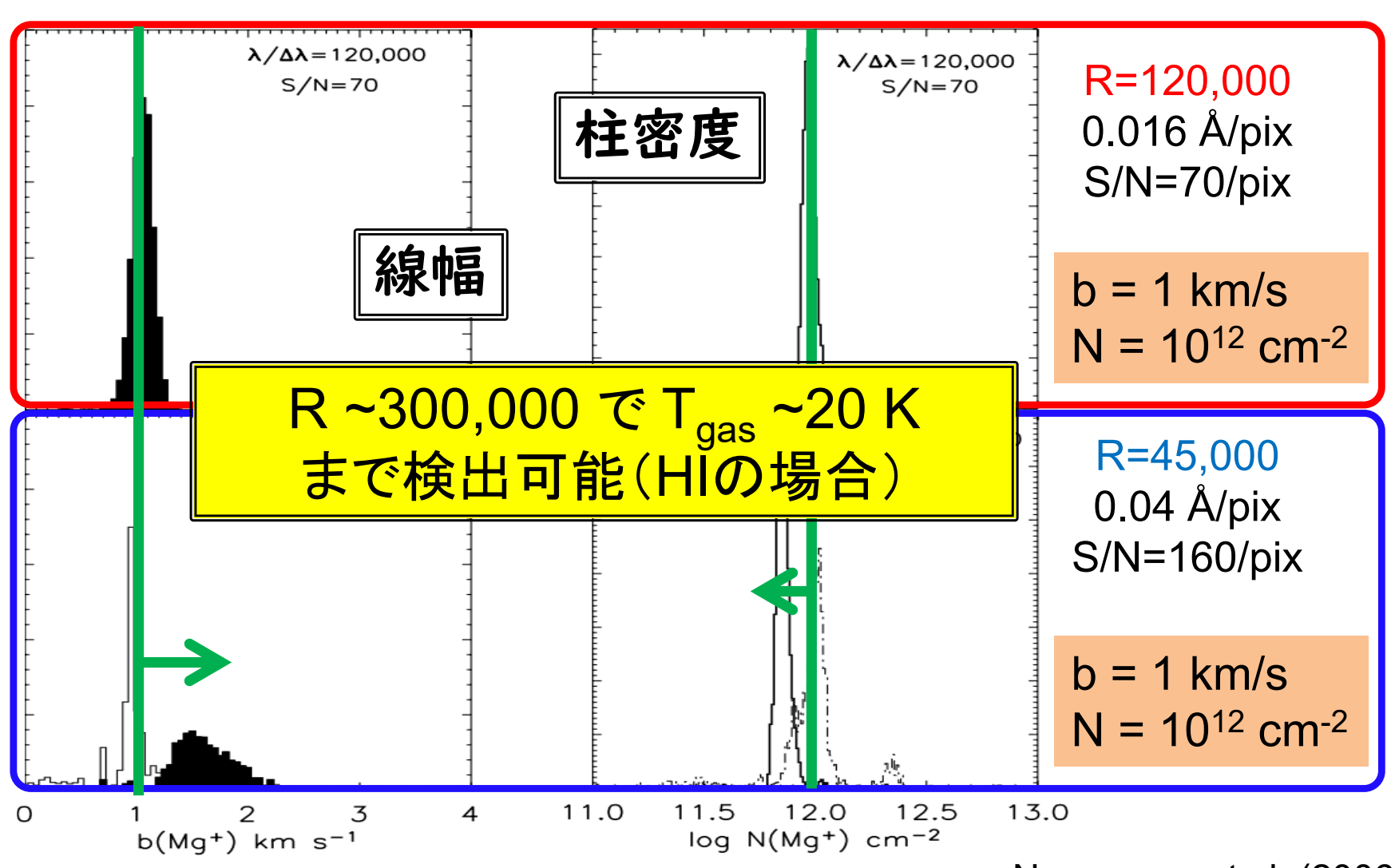
#### R=120,000 vs. R=45,000



Narayanan et al. (2006)

#### R=120,000 vs. R=45,000

波長分解能が不十分だと線幅を過大評価, 柱密度を過小評価する



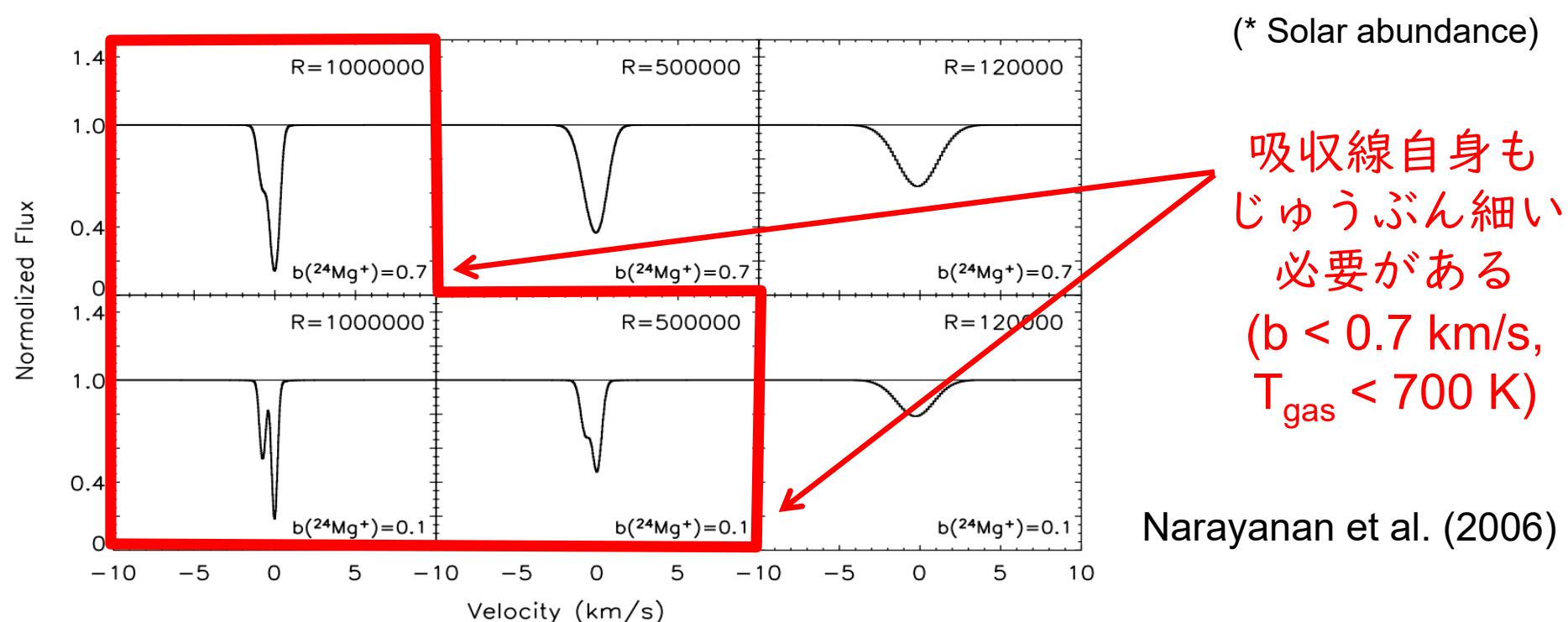
Narayanan et al. (2006)

テーマ ② 同位体の検出

# テーマ② 同位体の検出

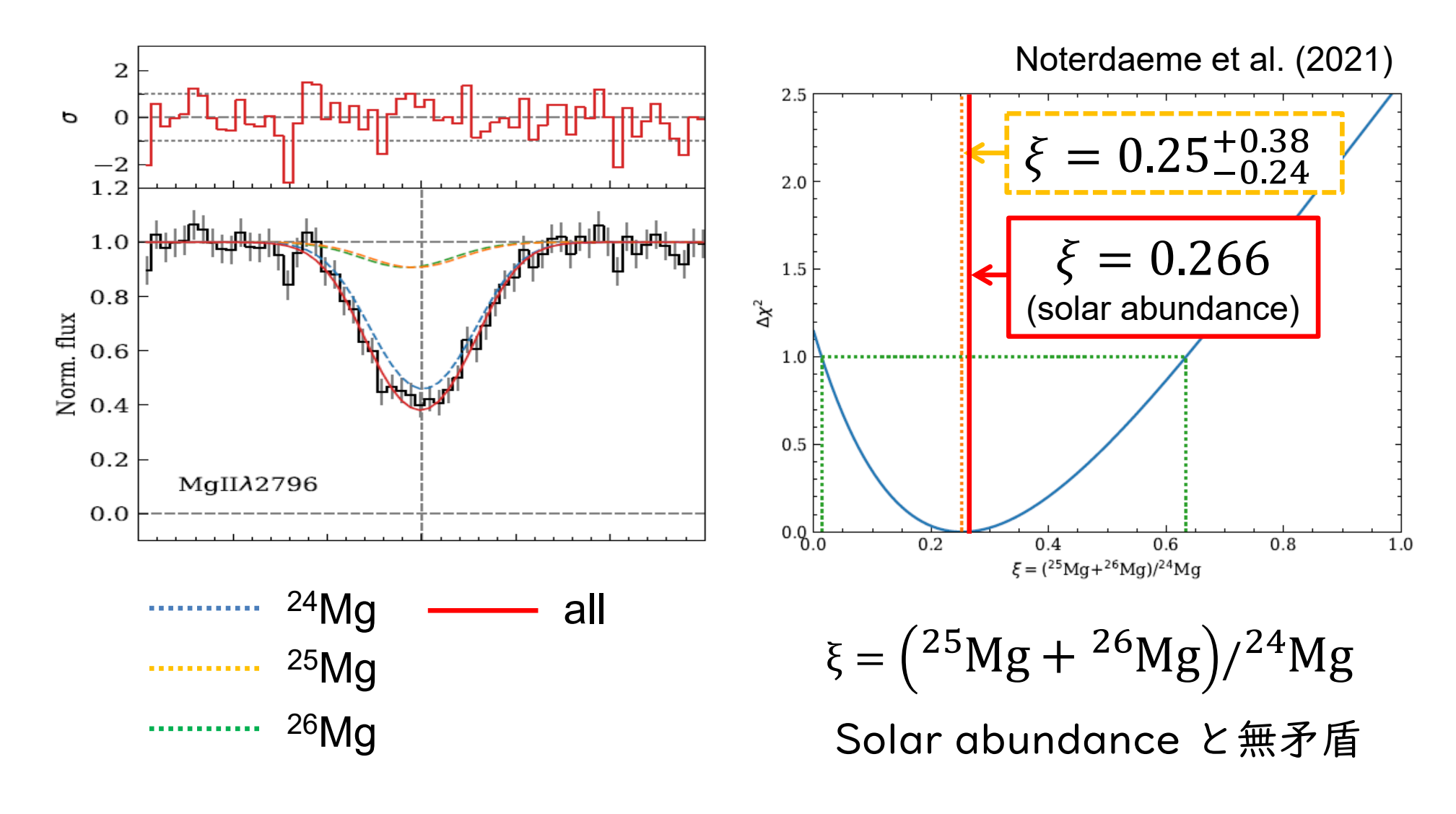
超高分散分光によりMgII 吸収線を同位体に分離できる

同位体	起源	存在比*	波長 (対 <sup>24</sup> Mg)	速度 (対 <sup>24</sup> Mg)
<sup>24</sup> Mg	大質量星	78.99 %	-	-
25110		10.00 %	-0.0014 Å	-0.1500 km/s
<sup>25</sup> Mg	中間質量星	10.00 %	-0.0061 Å	-0.6540 km/s
<sup>26</sup> Mg		11.01 %	-0.0080 Å	-0.8577 km/s



## 同位体比 (<sup>25</sup>Mg+<sup>26</sup>Mg)/<sup>24</sup>Mg の評価

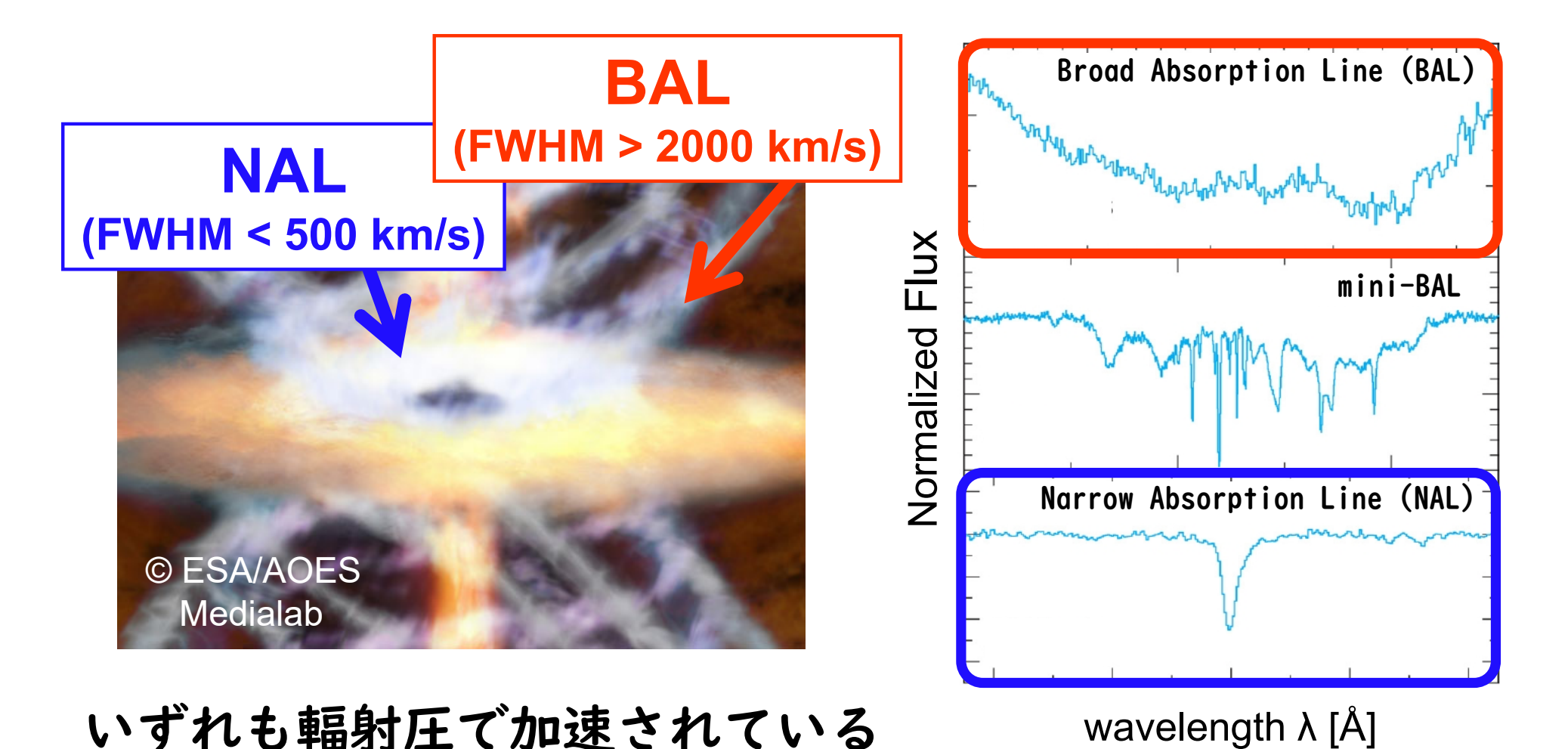
VLT/ESPRESSO による観測 (cold gas at z~0.45, HE0001-2340) (R~139000, S/N~25@379-525nm, ~45@525-788nm)



テーマ ③ AGNアウトフローの加減速の追跡

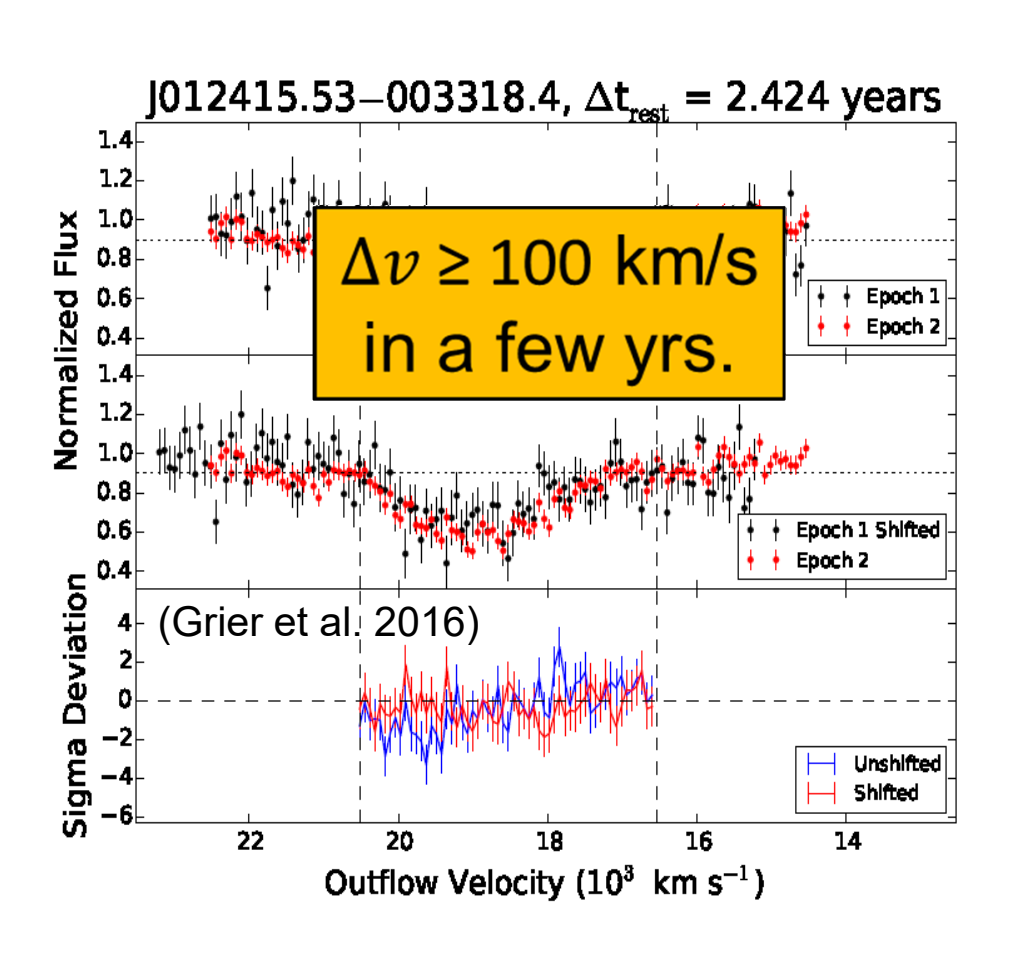
# テーマ③ AGNアウトフローの加減速の追跡

クェーサー降着円盤から噴き出すガス流 (AGN outflow) による 紫外吸収線の速度変化(加速・減速傾向)を直接捉える

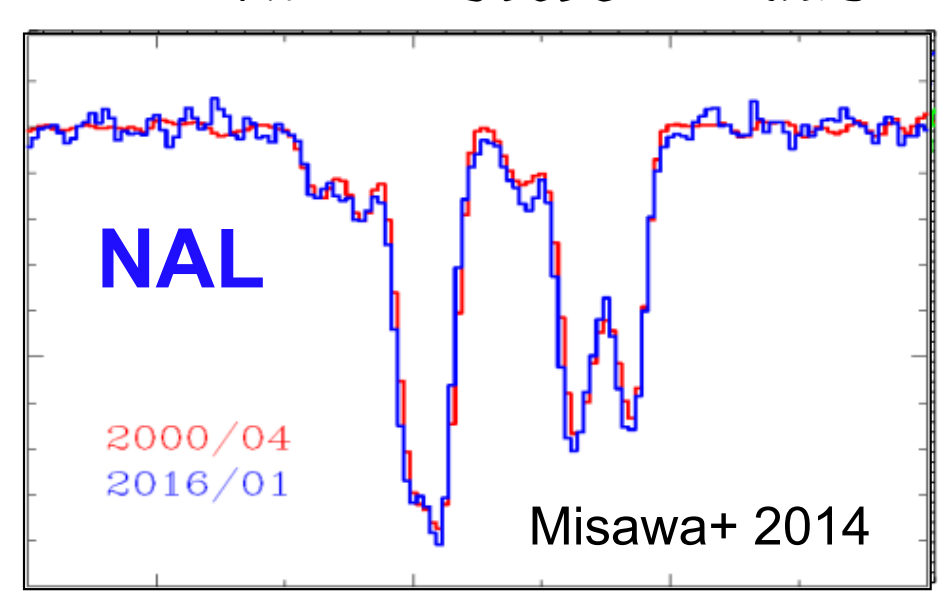


# NAL <del>BAL</del>の速度変化調査

AGN outflow の速度変化が検出されたのはBALに対する数例のみ (e.g., Joshi et al. 2014, Grier et al. 2016, Ye et al. 2024).



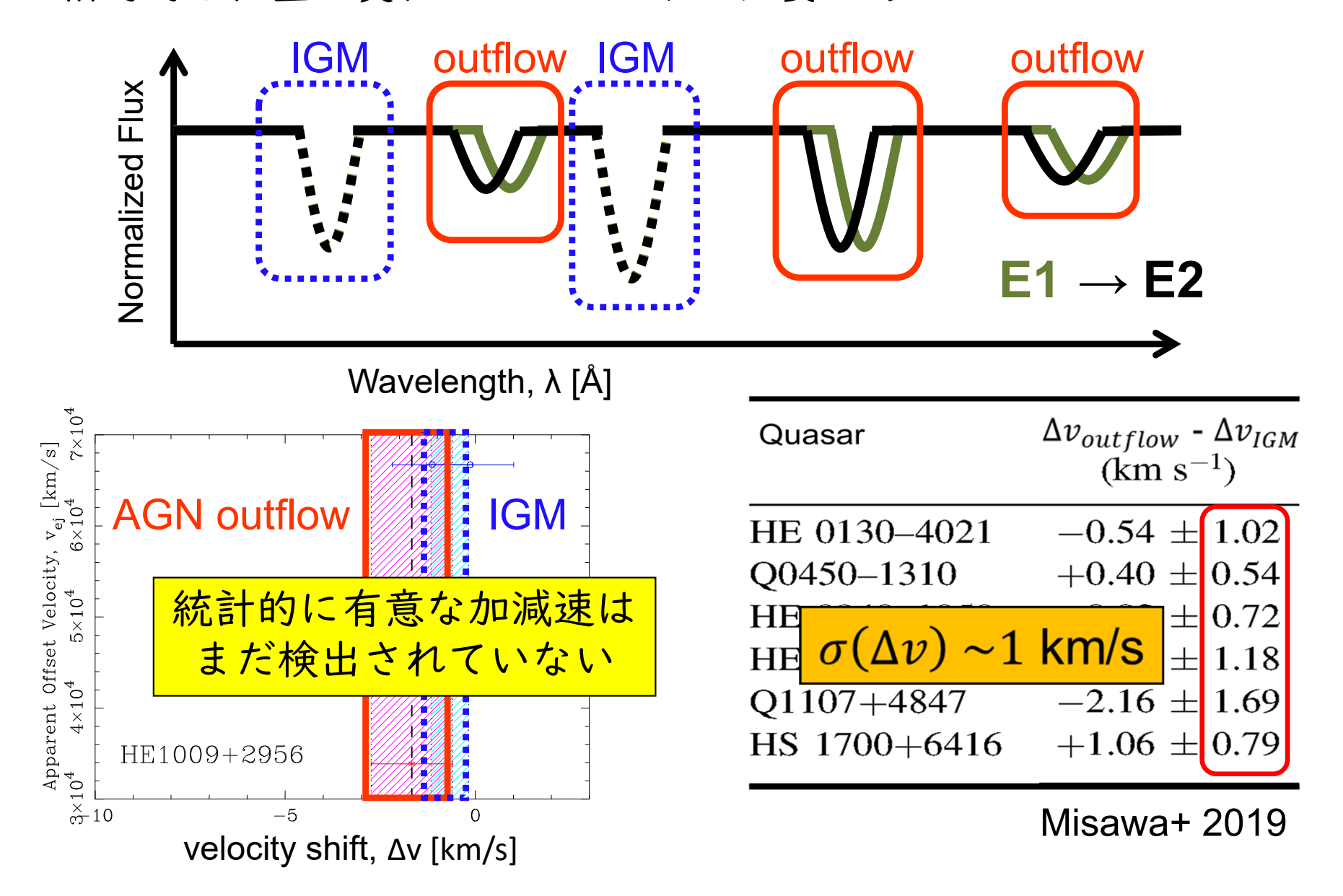
#### NALは微小な速度変化に敏感



BALの速度変化は吸収線の形状変化による影響を排除できない

### 銀河間ガス(IGM)による吸収線との比較

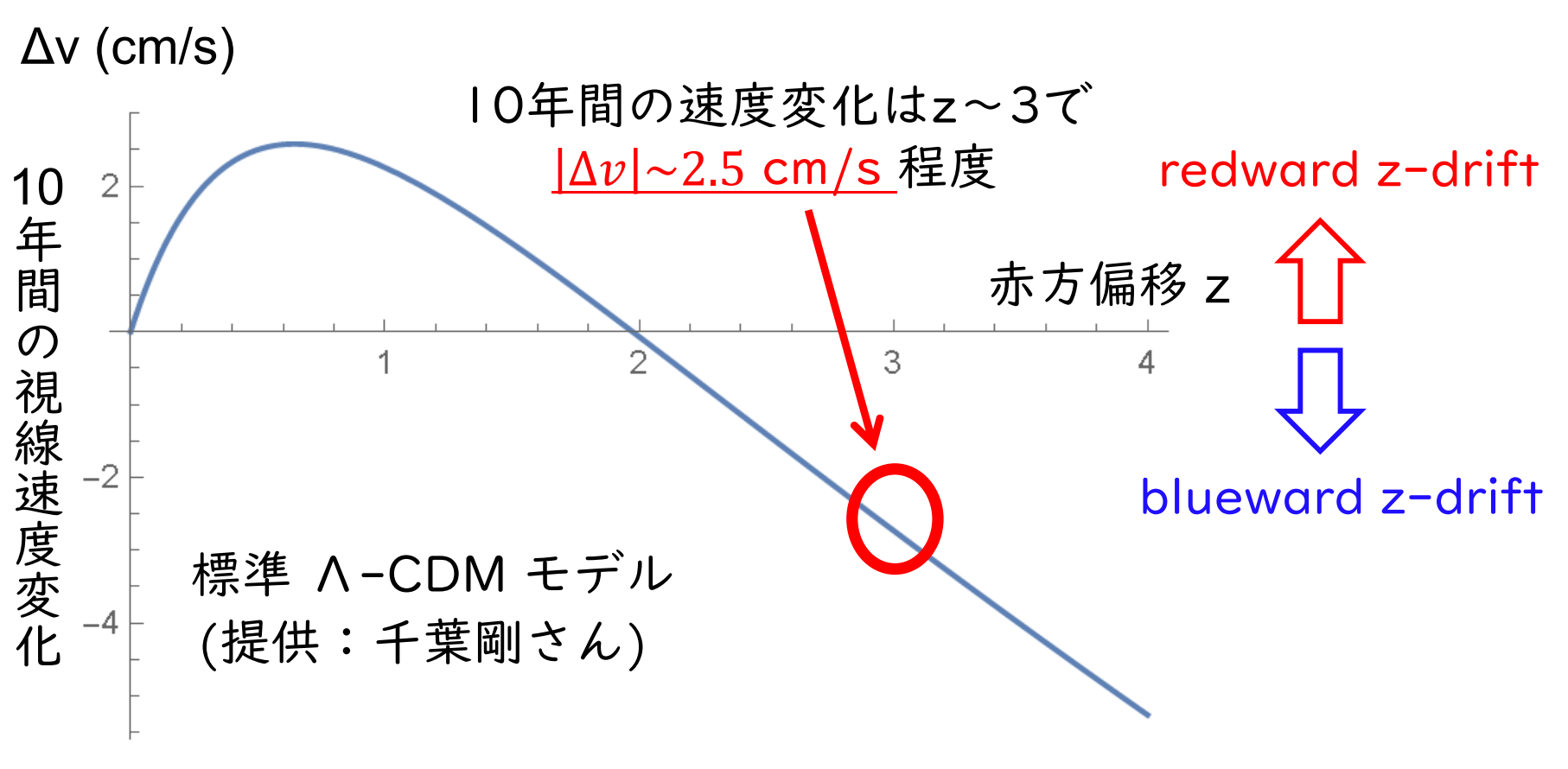
波長校正に由来する系統誤差を取り除くため、IGM吸収線との相対的な位置の変化をモニターする必要がある



# テーマ ④ 宇宙加速膨張の直接的検証

# テーマ④ 宇宙加速膨張の直接的検証

クェーサー吸収線で宇宙の加速膨張を直接捉える



Sandage-Loeb test (redshift drift)

$$\Delta v \equiv \frac{c\Delta z}{1+z} = cH_0\Delta t \left[ 1 - \frac{H(z)/H_0}{1+z} \right]$$

## 何をどうやって観測すればよい?

#### 【観測対象】 (Liske et al. 2008)

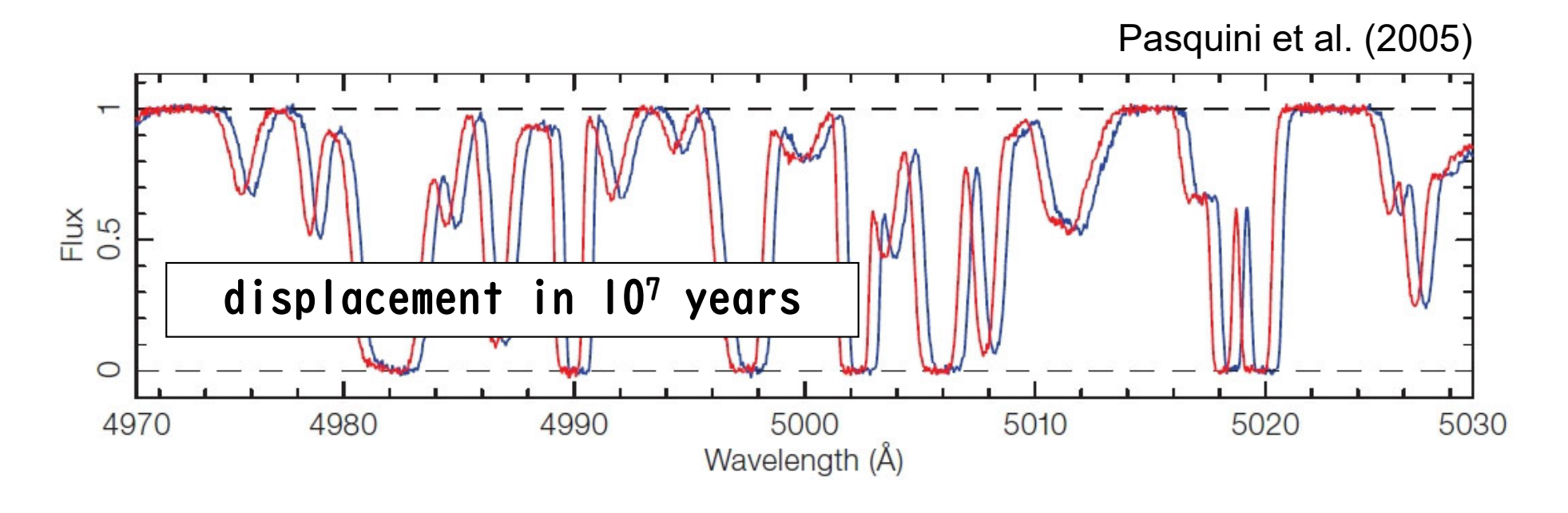
- ハッブル・フローを再現する (in shallow potential)
- 吸収線の線幅がそこそこ小さい (e.g., b ~20-30 km/s)
- 吸収線の数が多い (especially at higher z)
- 観測対象が明るい (e.g., m < 16.5)
- 幅広い赤方偏移領域に分布
  - ⇒ Lyα forest が理想的なターゲット

#### 【観測装置】 (Liske et al. 2006)

- 波長分解能が高い (R > 30,000 であれば Lyα は分解可能)
- 波長領域が広い (e.g., λ = 4000-6800Å for z<sub>abs</sub> = 2.3-4.6)
- 高効率 (c.f., HDS~10%, IRD~3%, UVES~10%)
- 安定性(高い波長校正精度,数十年に渡る長期安定性)
  - ⇒ 既存の高分散分光器の性能 + 高い安定性 (LFC)

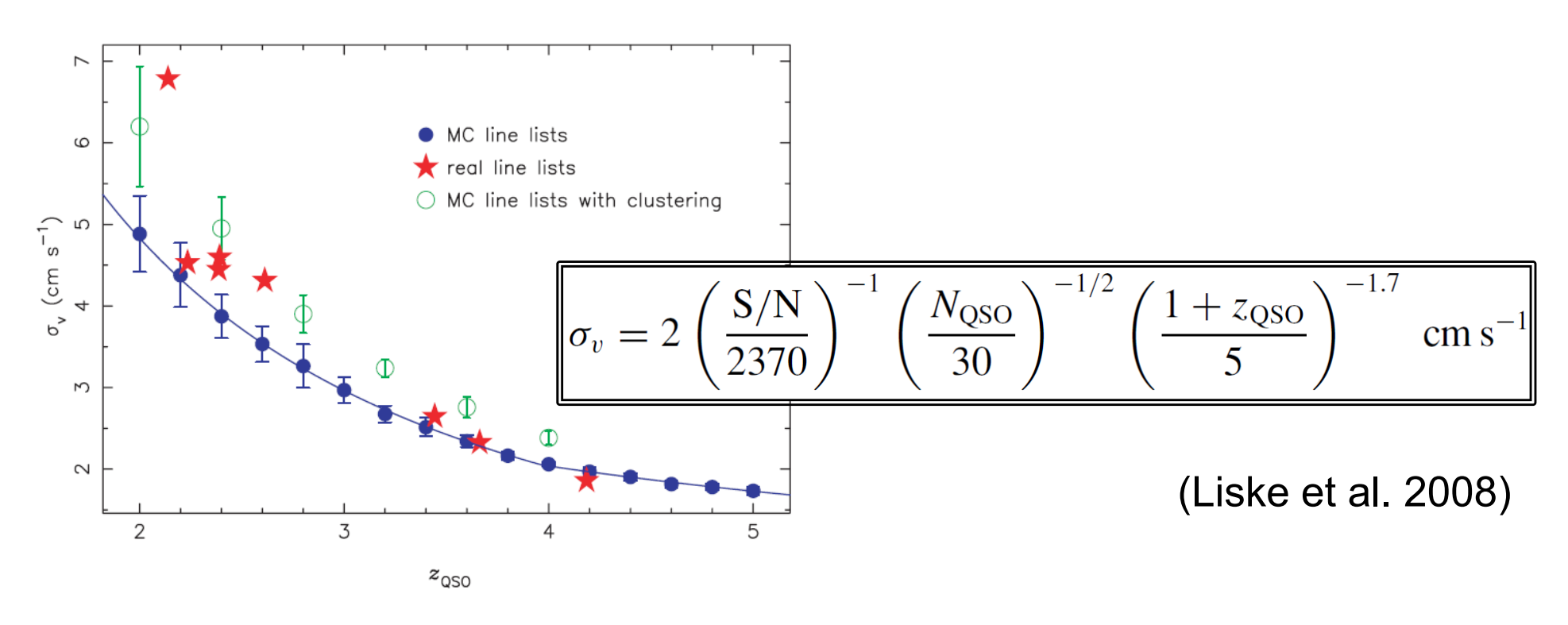
# Lya forest

重力ポテンシャルの小さい(Cosmic flow の影響を受けやすい) 銀河間物質 (IGM) にある中性水素 HI ガスによる吸収線 小さな波長シフトを測定するための最も有望なターゲット



- $\sim$ 100 Lya forest per unit redshift with  $\log N_{HI} > 13$
- $N_{line} \propto (1+z)^{2.2}$  (Kim et al. 2001)
- z-pathlength between Lyb and Lya is  $\Delta z=0.156(1+z_{em})$  (Liske+ 2008)

## 測定誤差の見積もり



- <u>ignoring systematic errors</u> (i.e., perfect wavelength calib.)
- performing Monte Carlo simulations
- R > 30,000,  $\Delta \lambda$  = 0.0125 Å/pixel
- same S/N for all quasar spectra
- using spectra between Lyβ and Lyα
  - $\Rightarrow$  S/N ~ 13000 in total is necessary for  $\sigma_v$  ~ 2 cm/s

# テーマ ⑤ 微細構造定数の変動検証

# テーマ⑤ 微細構造定数の変動検証

基礎物理定数(万有引力定数 G, 真空中の光速 c, 素電荷 e, プランク定数 hなど)は本当に全宇宙で不変か?

現代物理学は、これらの 物理量は空間や時間に関 係なく一定であるという 仮定に基づいている



大統一理論(GUT)、超 対称理論(SUSY)、超 弦理論などの最新の物理 理論は、これらの物理量 の変化を許容している

#### 微細構造定数 $\alpha$ :

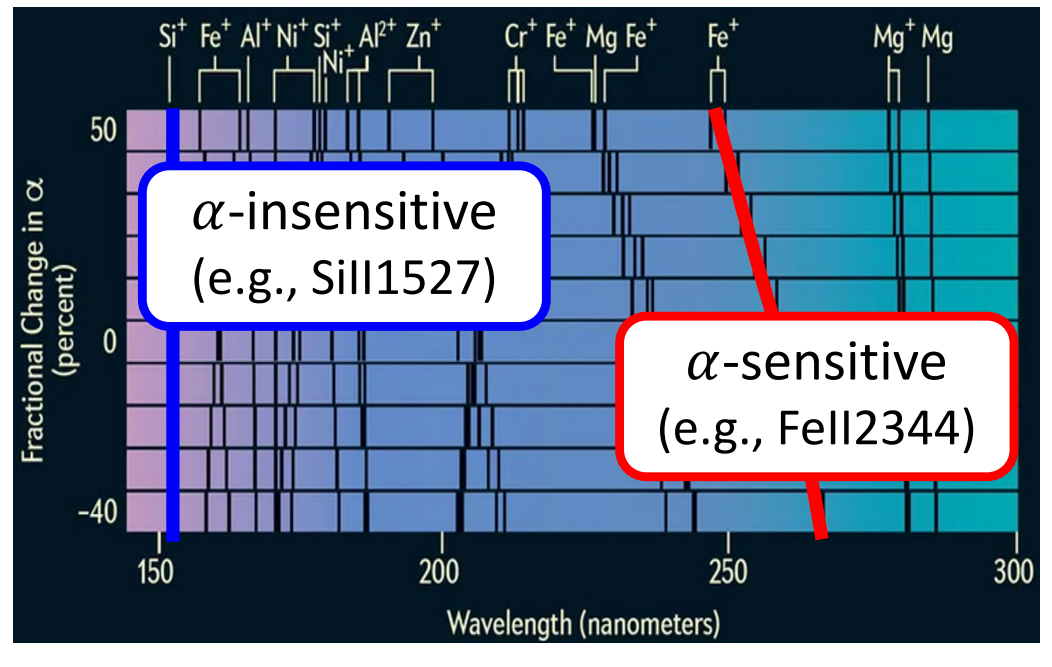
荷電粒子間の電磁相互作用の強さを定量化する基本的な物理定数。 αの変化は遷移波長のシフトとして測定される。

$$\alpha = \frac{1}{4\pi\varepsilon_0} \frac{e^2}{\hbar c} \sim \frac{1}{137}$$

#### クェーサー吸収線を用いた検証方法

微細構造の変動  $\Delta \alpha / \alpha$  に対する波数  $\omega$  ( $\equiv I/\lambda$ ;波長の逆数) の 依存性は、個々の吸収線に対応する q-value に依存する  $\rightarrow$  複数の吸収線を同時に検出して比較するのが効果的

$$\omega_{\alpha} = \omega_0 + 2q \frac{\Delta \alpha}{\alpha}$$



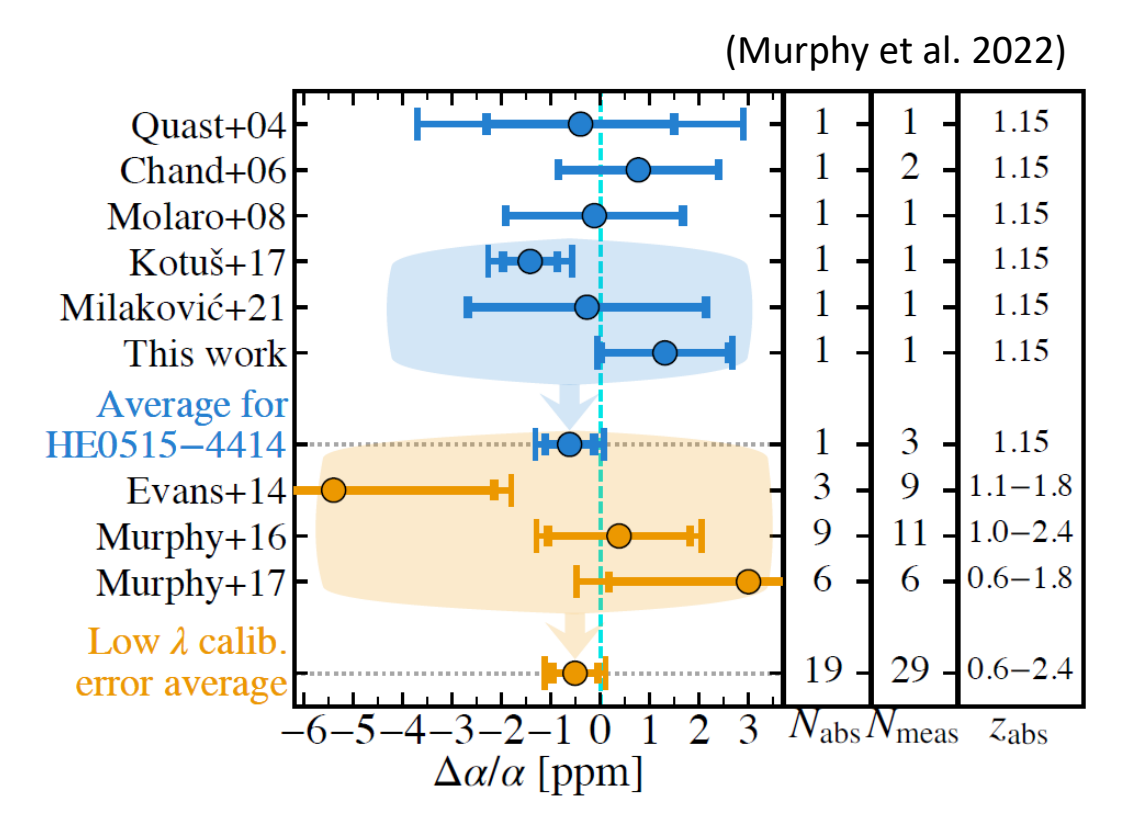
(Credit: Alison Kendall; John K. Webb)

遷移名	q-value (cm <sup>-1</sup> )	引用	
Fe II 1608	$-1030 \pm 300$	Dzuba et al. (2002)	
Fe II 1611	$1560 \pm 500$	Dzuba et al. (2002)	
Ni II 1710	$-20 \pm 250$	Porsev et al. (2007)	
Ni II 1742	$-1400 \pm 250$	Porsev et al. (2007)	
Ni II 1752	$-700 \pm 250$	Porsev et al. (2007)	
Si II 1808	$520\pm30$	Porsev et al. (2007)	
Al III 1855	$458\pm2$	Dzuba & Flambaum (2009)	
Al III 1863	$224\pm1$	Dzuba & Flambaum (2009)	
Si II 1527	$50 \pm 30$	Porsev et al. (2007)	
Zn II 2026	$2488 \pm 25$	Savukov & Dzuba (2008)	
Zn II 2063	$1585 \pm 25$	Savukov & Dzuba (2008)	
$\mathrm{Cr~II~2056}$	$-1030\pm150$	Porsev et al. (2007)	
$\mathrm{Cr}\;\mathrm{II}\;2062$	$-1168\pm150$	Porsev et al. (2007)	
Cr II 2066	$-1360\pm150$	Porsev et al. (2007)	
Fe II 2344	$1540 \pm 400$	Dzuba et al. (2002)	

(LEE,修士論文 2024)

#### 測定精度の向上が課題

現在の測定精度は  $\Delta\alpha/\alpha \sim 10^{-6}$  レベル。今後は  $\sim 10^{-6}$  レベルの観測データを大量に確保し、統計処理を経て  $\Delta\alpha/\alpha \sim 10^{-7}$  レベルを目指す。



VLT/ESPRESSO の結果 (HE0515-4414) と 先行研究 (橙色) を統計的に統合した結果:  $\Delta\alpha/\alpha = -0.5 \pm 0.5_{stat} \pm 0.4_{svs}$  ppm

#### 必要な波長校正精度

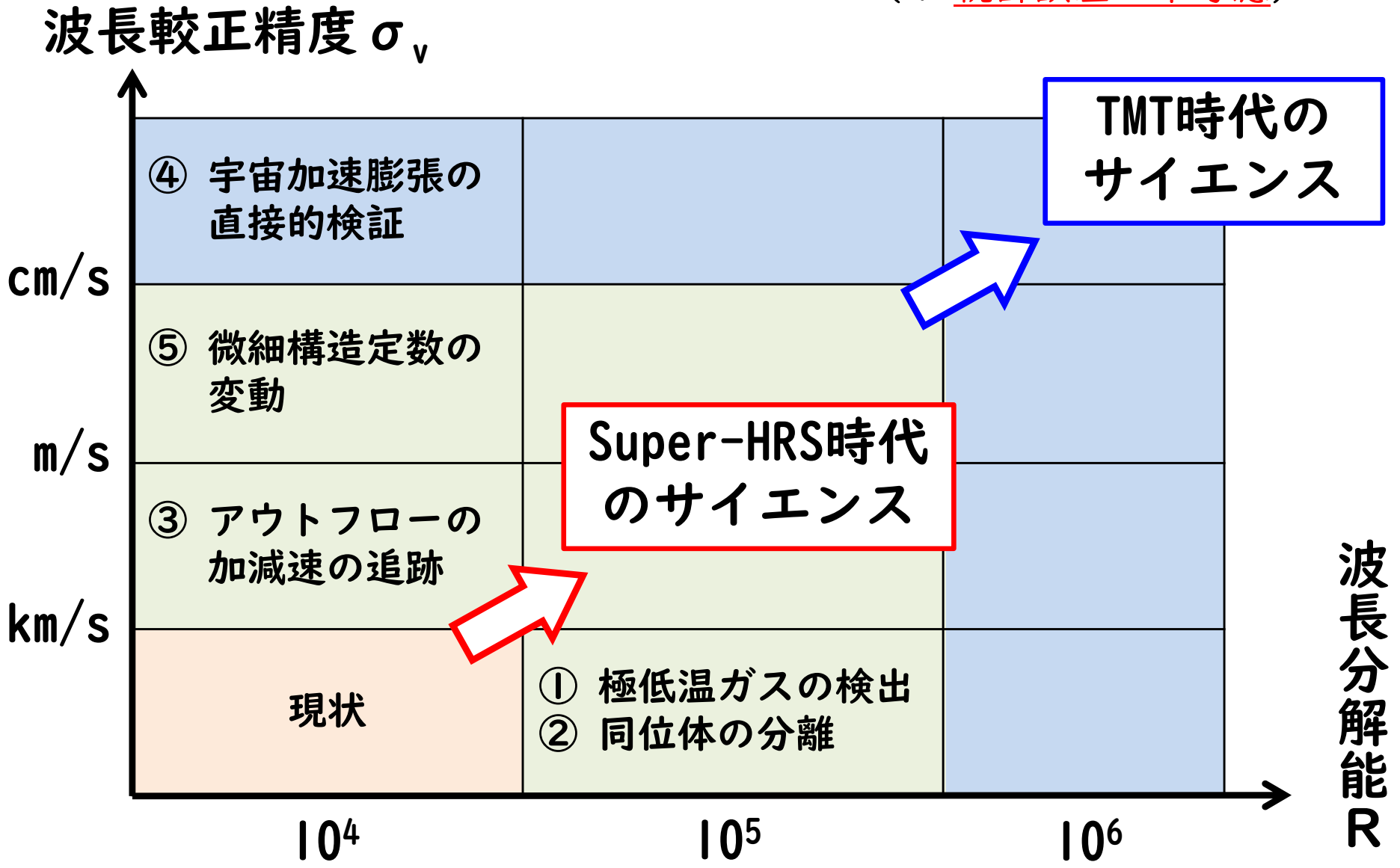
$$\frac{\Delta v}{c} = \frac{\Delta \lambda}{\lambda} \sim 2q\lambda \frac{\Delta \alpha}{\alpha}$$
$$\sim 12 \text{ m/s}$$

$$\Delta \alpha / \alpha = 10^{-6}$$
  $q = 1,000 \text{ cm}^{-1}$   $\lambda = 2,000 \text{ Å}$  (典型的な値を仮定)

まとめ

## 2030年代のQAL関連サイエンスの展望

(※ 統計誤差は未考慮)



# まとめ

- クェーサー吸収線研究の歴史,現状,課題
- 次世代超精密分光器に期待すること
  - 超高波長分解能 (≥10万)
  - 超精密波長測定精度 (≲Ikm/s)
  - 超長期安定性 (≥数年間)
- 2030年代のQAL関連のサイエンス
  - テーマ① 極低温ガスの検出
  - テーマ② 同位体の検出
  - テーマ③ AGNアウトフローの加減速の追跡
  - テーマ④ 宇宙観測膨張の直接的検証
  - テーマ⑤ 微細構造定数の変動検証